

荒天時の港内係留避泊の安全性に関する基礎的研究

| | | | |
|--------|------|-----|-------|
| 京都大学 | 工学部 | 正会員 | 黒田 勝彦 |
| 神戸商船大学 | 商船学部 | 正会員 | 井上 欣三 |
| 京都大学 | 工学部 | 正会員 | 喜多 秀行 |
| 京都大学 | 大学院 | 学生員 | 今松 勉 |

1. はじめに

港湾には、ターミナル機能とハーバー機能という2つの機能があるが、台風などの荒天時には、港内避泊の危険性が高まるため、大型船舶は、港外に退避して避泊し、港湾はこれらの船舶に対して実質的に機能していないのが現状である。この港外避泊も避泊水域の不足から危険性が高まりつつある。そこで本研究は、荒天時港内避泊を考慮した際の望ましい港湾施設の整備水準を求めるための基礎として、外かく施設の整備水準と港内避泊船舶の事故率との関連づけた。

2. 係留船舶の事故率算定の方法

図1のようなフロー図で検討を進めたが、各段階には、さまざまなパラメータが存在し、それの中には、影響の小さいもの、または、計算上取り扱いが困難なものが多いため、研究の目的に照らして必要なもののだけを抜粋しなければならなかった。

想定外力については、波・風・高潮の3つを考慮した。波は不規則波を考へ、その周波数スペクトルとして、Bretschneider-光易型、方向関数として光易型を用い、風・高潮は時間的に定常として取り扱った。港湾施設整備は、外かく施設のみに限らず、水域施設形状や係留施設など、さまざまなものを考える必要があるが、本研究では、その第一段階として、防波堤の延長とともに施設の整備水準とした。船体に作用する港内波としては、港口からの進入波と港内反射波の2つを考へた。これらの波は、一定周期の波と周波数スペクトル(Bretschneider-光易型)を用いて重ね合わせを行ない、単一方向不規則波とした。

事故率の定義としては、港内避泊船舶の事故のうち、ほとんどが係留索切斷によつて起つたものため、本研究では、ある一定の荒天継続時間内における係留索切斷確率を係留船舶の事故率として定義した。以上のことを設定のもとで、港内波高計算法としては、高山による一般形状防波堤に対する回折波の解析法および折り返し回折法を用いて不規則波に対する港内任意点の波高比を求め方針を使用し、船体運動解析および安全性評価は

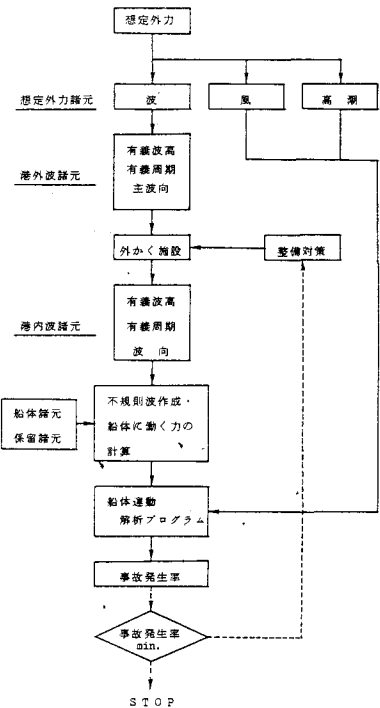


図1 本研究のフローチャート

船体運動ミニマリゼーションと動的信頼性モデルに基づく井上²⁾の方法による。

3. 計算例および結果

事例計算にあたり、以下の諸条件を設定した。

外かく施設諸元については、主防波堤、副防波堤とそれそれ現状から460m単位で延長した。その組合せは表1に示し、その他の各諸元は図2に示してある。港外波の諸元については、有義波高3.7m、有義周期T=10sec、主波向は主防波堤から右回りに210度とした。船体諸元としては、現在港外避泊しており、かつ港湾整備により、港内避泊に転じるところが期待される程度の大ささという点から満載状態の5000トン級貨物船(5169.69総トン、垂線間長115.00m、幅16.30m)を検討対象とした。係留諸元は、ベース条件として無限流体中のドルフマンを考へ、船舶の係留位置は、図2(a)のようにした。また係留条件としては、1ヶ所につきヤング率E=14.2ton/cm、ばね定数k=5.54ton/mの係留索2本を用い、対称係留の場合を考へた。

以上のようなパラメータのもとで行なった計算結果が図3である。

4. 結果に対する考察および残された問題点

防波堤を延長するこことで係留船

船の事故率が減少することは予想どおりであったが、No.2, No.5という副防波堤の延長を考へたものがNo.3, No.4, No.6という主防波堤の延長を考へたものに比べ事故率の減少率が小さい。これは、それらの場合の波高比の大小にもよるが、船舶係留点への入射波角の違いにかなり影響を受けていると考えられる。なお、本研究では、港外波諸元および係留位置を1つに固定したが、今後、これらのパラメータを動かして、さらには検討を加える必要がある。

参考文献

- 高山知司；波の回折と港内波高分布に関する研究、港湾技術研究所、No.367、1981
- 井上敏三；動的信頼性モデルによる係留船舶の安全性評価（未発表）

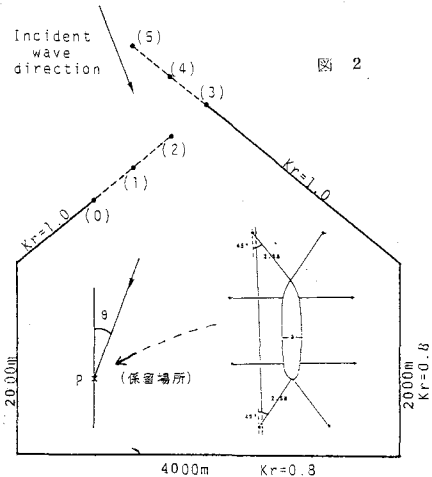


図 2

| No. | 防波堤位置の組合せ | P点の波高比 | P点への入射波向(θ) |
|-----|-----------|---------|-------------|
| 1 | (0) (3) | 0.34547 | 14.5° |
| 2 | (1) (3) | 0.41942 | 17.9° |
| 3 | (1) (4) | 0.23803 | 12.8° |
| 4 | (1) (5) | 0.15250 | 17.9° |
| 5 | (2) (3) | 0.31319 | 20.5° |
| 6 | (2) (4) | 0.12247 | 20.5° |

表 1 整備水準の組合せおよび波高比計算結果

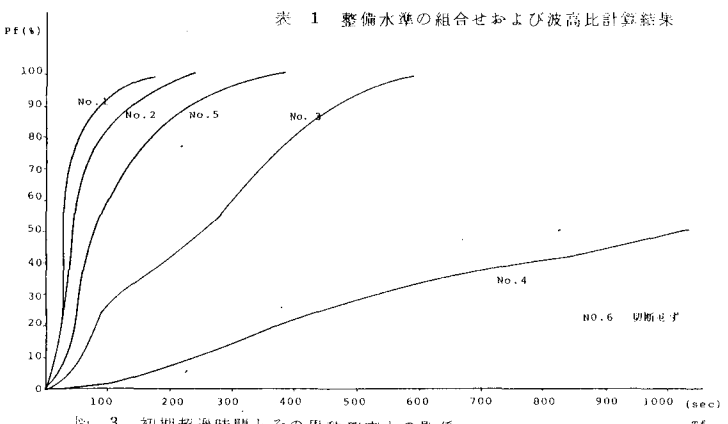


図 3 初期超過時間とその累積確率との関係

諸元および係留位置を1つに固定したが、今後、これらのパラメータを動かして、さらには検討を加える必要がある。